

## بررسی تأثیر خاصیت ضدسرطانی عصاره گیاه کاکوتی (*Ziziphora*) بر میزان بیان ژن (*Claudin-1*) (CLDN1) در رده سلول های سرطانی معده (AGS)

سارا نیری<sup>۱</sup>، زهرا دیلمی خیابانی<sup>۱</sup>

۱- دانش آموخته کارشناسی ارشد، گروه زیست شناسی، واحد زنجان، دانشکده علوم پایه، دانشگاه آزاد اسلامی زنجان، ایران.

۲- استادیار گروه زیست شناسی، واحد زنجان، دانشکده علوم پایه، دانشگاه آزاد اسلامی زنجان، ایران. نویسنده مسئول:  
zahra.deilami@gmail.com

تاریخ پذیرش: ۱۴۰۲/۰۷/۱۳

تاریخ دریافت: ۱۴۰۲/۰۵/۲۱

### چکیده

**زمینه و هدف:** کلودین ها (*claudin*) پروتئین های ساختاری و عملکردی اتصالات محکم در سلول های اپیتلیال هستند. الگوهای بیان تعییر یافته از اعضای مختلف *claudin* در انواع بیماری ها، به ویژه در سرطان ها، به اثبات رسیده است. گزارش شده است که در سرطان معده *claudin-1*، ۲۲ برابر افزایش بیان را نشان داده است. هدف از این مطالعه بررسی میزان بیان ژن *claudin-1* در سلول های آدنوکارسینومای معده پس از تیمار سلول ها با عصاره گیاهی کاکوتی می باشد. مزیت این عصاره داشتن خاصیت ضد سرطانی و عدم وجود عوارض جانبی می باشد.

**مواد و روش ها:** سلولی آدنوکارسینومای معده (AGS) در پلیت های ۱۲ چاهکی با ۱۰٪ FBS و در دمای ۳۷ درجه سلسیوس و انکوباتور ۵٪ CO<sub>2</sub> و رطوبت ۸۵٪ کشت داده شدند. سلول ها با غلظت های ۸۰۰، ۱۲۰۰، ۲۰۰۰ μg/ml از عصاره آبی کاکوتی به مدت ۴۸ و ۷۲ ساعت تیمار شده سپس استخراج cDNA، سنتر RNA با استفاده از کیت انجام گردید. در نهایت بررسی میزان بیان ژن *claudin-1* با پرایمرهای اختصاصی و Real time PCR به عنوان ژن GAPDH بررسی شد.

کنترل داخلی استفاده شد. آنالیز داده ها با  $2^{-\Delta\Delta CT}$  محاسبه گردید و معنی دار بودن نتایج با T-test بررسی شد.

**نتایج:** آنالیز نتایج نشان داد که در تیمار ۴۸ ساعت سلول های AGS با عصاره کاکوتی در غلظت ۸۰۰ و ۱۲۰۰ μg/ml به ترتیب ۷/۳ برابر و در تیمار ۷۲ ساعت، در غلظت ۲۰۰۰ μg/ml به ترتیب کاهش ۵/۸ برابر و ۱۰ برابر کاهش در بیان ژن *claudin-1* مشاهده گردید و هیچ تغییر معنی داری در غلظت ۲۰۰۰ μg/ml در هر دو تیمار مشاهده نشد.

**نتیجه گیری:** با توجه به نتایج حاصل، تاثیر تیمار ۷۲ ساعت در سلول های AGS با غلظت ۱۲۰۰ μg/ml عصاره کاکوتی در کاهش بیان ژن *claudin-1* به عنوان ژن در گیر در سرطان زایی، بیشتر می باشد.

در این مطالعه، ژن *claudin-1* به عنوان یکی از عوامل در بدخیمی تومور با تاثیر عصاره کاکوتی به طور قابل توجهی کاهش بیان را نشان داده است.

**کلمات کلیدی:** *claudin-1*، سرطان معده، سلول های AGS، کاکوتی

مهمی در تنظیم نفوذپذیری و حفظ قطبیت سلولی در سلول های اپیتلیال<sup>(۱۰،۱۱)</sup> و اندوتیلیال<sup>(۱۲)</sup> دارند. *CLDN1* در بافت سرطان معده ظاهر می یابد که بیان آن با تهاجم و متاستاز تومور در ارتباط است و آن به عنوان یک عامل پیش آگهی برای نشان دادن نتیجه ای ضعف می تواند مورد استفاده قرار گیرد<sup>(۱۳،۱۴)</sup>.

گزارش های قبلی نشان داد که *claudin1* فعال کننده *MMP-9* و *MMP-2* می باشد که افزایش دهنده متاستاز و تهاجم سلول است<sup>(۱۵،۱۶،۱۷)</sup>. *Anoikis* شکل خاصی از آپوپتوز است هنگامی که سلول ها از ماتریکس خارج سلولی جدا شود رخ می دهد که یک مکانیسم کلیدی در حفظ هموستاز و توسعه بافت است<sup>(۱۸)</sup>. عدم اجرای برنامه *anoikis* ممکن است منجر به زنده ماندن سلول تحت شرایط توقف یا تکثیر در محل نابجا شود. این بی نظمی در اجرای *anoikis* به عنوان یک مشخصه پدیدار شدن سلول های سرطانی در نظر گرفته می شود که منجر به ایجاد متاستاز در اندام های دور می شود<sup>(۱۹،۲۰)</sup>. *Claudin1*، *anoikis* سلول را در سرطان روده بزرگ، از طریق تنظیم *E-cadherin* و بتا کاتنین و سیگنالینگ *SRC* را تنظیم می کند<sup>(۲۱،۲۲)</sup>. در واقع یک تعامل متقابل بین کلودین ۱ و بتا کاتنین وجود دارد<sup>(۲۳،۲۴)</sup>. نقش *claudin1* و بتا کاتنین در تومور معده و متاستاز باعث شد تحقیقات بیشتری در این زمینه صورت بگیرد. تعدادی از محققان با از کار *anoikis* انداختن بین کلودین ۱، به وسیله القا سلول های *invitro* و *invivo* مانع رشد تومور و متاستاز در شرایط در سلول های سرطان معده شدند و سپس متوجه شدند که کلودین ۱ مقاومت سلول های *anoikis* را از طریق القا بین بتا کاتنین غشائی افزایش می دهد که به دنبال آن تجمع سلول ها القا می شود و فرآیند آپوپتوز مهار می شود و با انجام از مایشی به این نتیجه رسیدند که کاهش بیان *Claudin1*

#### مقدمه:

سرطان معده چهارمین سرطان شایع و دومین عامل مرگ و میر براثر سرطان می باشد<sup>(۱)</sup> یک عامل *multi factorial* یا چندعاملی بوده که عفونت هلیکوباکترپلوری و عوامل محیطی چون مصرف دخانیات، الکل، تغذیه، سطح بهداشت، سابقه فامیلی و مواجه یکسان اعضای یک خانواده با عوامل خطر محیطی در شکل گیری آن تاثیرگذار است. از سوی دیگر وجود زمینه ای ژنتیکی، چهش ها مانند جهش در پروتوانکوژن ها، غیرفعال شدن ژن های *DNA* و *ژن های سرکوب گر* و ... می توان اشاره کرد<sup>(۲)</sup>.

بیش از ۹۰ درصد مرگ و میر های سرطانی به دلیل متاستاز رخ می دهند. تومورهای اولیه می توانند توسط جراحی یا درمان های مکمل شیمیایی به خوبی درمان شوند، اما سرطان هایی که به مرحله متاستاز رسیده اند به درمان مقاوم اند. خصوصیت مقاومت، دلیل فراوانی مرگ را در میان افراد دارای متاستاز نشان می دهد<sup>(۴،۳،۶،۵)</sup>. چند مرحله ای بودن فرآیند متاستاز نشان از یک برنامه دقیق و پیچیده دارد. شناخت ژن ها و پروتئین های کلیدی دخیل و نشان دادن ارتباط آنها با هم و با بیماری نکته اصلی در شناخت و درمان سرطان های مهاجم است.

مطالعه ژن *Claudin* در سرطان ها به ویژه سرطان معده از اهمیت بالایی برخوردار است چرا که تحقیقات نشان داده *claudin6* و *claudin1-4* افزایش بیان *claudin-1* دارند<sup>(۷،۸)</sup>. در این میان در سرطان معده ژن *Claudin* تا ۲۲ برابر افزایش بیان را نشان داده است<sup>(۹)</sup>. *Claudin* *tight* جزء اجزای ساختاری و عملکردی ضروری اتصالات می باشد. اتصالات *tight* عملکردی سد مانند دارند که در عبور یون ها، آب ها، ماکرومولکول های مختلف و حتی سلول های سرطانی نقش تنظیمی دارد. *Claudin* ها نقش

ارلن ۱ لیتری با ۵۰۰ میلی لیتر آب مقطر استریل مخلوط گردید. اrlen مذکور جهت حل شدن پلی فنل های کاکوتی، ۱۵ دقیقه در دمای جوش بن ماری قرار گرفته و سپس بر روی شیکر انکوباتور گذاشته شد. پس از گذشت ۲۴ ساعت، مخلوط مذکور توسط گاز استریل ۴ لایه و قیف صاف گردید. برای جدا کردن ناخالصی های موجود در عصاره مورد نظر عمل سانتریفوژ با دور rpm ۳۰۰۰ و به مدت ۲۰ دقیقه در دمای ۴ درجه سلسیوس انجام گرفت. عصاره صاف شده با استفاده از دستگاه روتاری تغییر گردید. سپس توسط فیلتر میکروبی ۰/۲۲ میکرونی استریل شده و در میکروتیوب های استریل تقسیم و تا زمان استفاده در دمای ۲۰- درجه سلسیوس نگهداری شد (۳۴).

### سلول سرطانی معده (AGS) و پاساژ سلوولی

سلول های AGS از انیستیتو پاستور خریداری گردید پس از ورود سلوول به اتاق کشت آزمایشگاه علوم و تحقیقات ، به سرعت مراحل Sub Culture انجام شد.

### شمارش سلوولی

پس از پاساژ سلوولی ، شمارش سلوول ها با استفاده از تریپان بلو و لام نثوبار انجام شد.

تعداد سلوول ها:  $10^5$  سلوول در پلیت های ۱۲ چاهکی کشت داده شد.

### کشت سلوول ها در پلیت های ۱۲ چاهکی

در ابتدا سلوول ها با PBS شستشو و سپس تریپسینه شده RPM تا از سطح فلاسک جدا شوند. سانتریفوژ با دور ۱۰۰۰ به مدت ۵ دقیقه انجام شده و رسوب سلوولی در مقدار مناسبی از محیط کشت کامل به حالت سوسپانسیون درآمد. در پلیت ۱۲ چاهکی ، هر چاهک نیاز به ۲ml محیط کشت کامل و ۱۰۰ مایکرولیتر از سلوول های شمارش شده دارد. یک پلیت با چهار چاهک حاوی سلوول های AGS برای دوزهای ۸۰۰، ۱۲۰۰ و ۲۰۰۰ مایکرو گرم بر میلی لیتر

در سلوول های سرطان معده متاستاز را سرکوب می کند. (۲۵). ژن claudin در بافت سرطان معده بیانش افزایش می یابد می توان از آن به عنوان یک عامل پیش آگهی استفاده کرد (۲۷، ۲۸، ۲۶، ۲۳، ۱۳). بیان کلودین در برخی سرطان ها افزایش و در برخی سرطان ها کاهش می یابد ولی طی مطالعات انجام شده در بسیاری از سرطان ها شاهد بیان بیش از حد کلودین هستیم (۲۹، ۳۰، ۳۱، ۳۲). گزارش شده که بیان دوباره کلودین-۱ منجر به افزایش آپوپتوز در سلوول های سرطانی سینه می شود (۳۳). بنابراین عملکرد کلودین ها در سرطان بستگی به نوع بافت و احتمالاً به نوع و مرحله سرطان بستگی دارد.

به نظر می رسد داروهای گیاهی با توجه به تاثیر موثر در جلوگیری از رشد تومور و عوارض جانبی کمتر، جایگزین مناسبی برای داروهای شیمیایی می باشد. در این مطالعه، ژن claudin-1 به عنوان یکی از عوامل در بد خیمی تومور با تاثیر عصاره کاکوتی به طور قابل توجهی کاهش بیان را نشان داده است.

### مواد و روش ها:

شامل عصاره گیری از کاکوتی، تقسیم بندی مواد مورد استفاده در فرایند کشت سلوول ، تهیه محیط کشت کامل ، دکمپلمن کردن FBS ، پاساژ سلوولی ، شمارش سلوولی ، کشت سلوول های AGS در پلیت ۱۲ چاهکی ، تیمار عصاره کاکوتی با دوزها و زمان های مشخص ، استخراج cDNA ، تعیین غلظت RNA ، سنتز RNA و آنالیز داده ها سفارش پرایمر، انجام Real time PCR و آنالیز داده ها می باشد.

### تهیه عصاره آبی کاکوتی

عمل عصاره گیری به روش ماسراسیون (خیساندن) انجام گرفت. برگ های خشک شده کاکوتی توسط آسیاب برقی پودر گردید. ۵۰ گرم از پودر گیاه توزین شده و در

RNA<sub>x</sub>\_Plus Solution , 25ml. از شرکت

سیناکلون با Cat.No: RN ۷۱۳C خریداری شد.

### بودسی کمی RNA استخراج شده

پس از استخراج کیفیت و غلظت RNA ها با دستگاه

اسپکتروفوتومتر بررسی شد

۱۱μ RNA استخراج شده به همراه ۹۹ آب مقطر

سترون دوبار اتوکلاو شده تهیه شده و از محلول فوق ، ۱μ

ادر کووت ریخته و در دستگاه اسپکتروفوتومتر قرار داده شد

### cDNA سنتز

در نسخه برداری معکوس ، رشته مکمل mRNA سنتز

می گردد. در این تحقیق کیت سنتز cDNA از شرکت

تکابوزیست با Cat.No:K-۲۰۴۶ و مشخصات: تیوب های

لیوفیلیزه آماده RT دارای آنزیم Cycle Script حاوی

شش پار تصادفی خریداری شد .

diethyl pyro ) DEPC Water ۲۰ مایکرولیتر

( به همراه ۱ مایکرولیتر RNA استخراج شده

به تیوب های کیت RT اضافه شد و به مدت چند ثانیه

SPIN گشت و در دستگاه PCR قرار داده شد. پس از اتمام

زمان داده شده محصول cDNA حاصل در فریزر ۲۰ -

درجه سانتی گراد نگهداری گردید.

### طراحی پرایمر

توالی نوکلئوتیدی مربوط به رونوشت های ژن

Claudin-1 و ژن رفرنس GAPDH از مقالات معتبر

استخراج شد (۲۶۰، ۲۶۱) و صحت انها با BLAST و GENE

RUNNER تایید شد .

عصاره کاکوتی و کنترل در بازه زمانی ۴۸ ساعت و پلیت

دیگری به همین ترتیب در بازه زمانی ۷۲ ساعت آماده

گشت.

### تیمار با عصاره کاکوتی

۱۲ ساعت پس از کشت سلول در پلیت های

چاهکی ، تیمار عصاره کاکوتی آغاز شده ، زمان طی شده

جهت اتصال پروتئین های سطح سلول به کف پلیت می

باشد. یک چاهک بدون اضافه کردن عصاره دارویی به

عنوان کنترل جهت بررسی بیان ژن های مورد مطالعه در

حالات عادی در نظر گرفته شد.

چاهک های دیگر با دوز های ۸۰۰ ، ۱۲۰۰ و ۲۰۰۰

مایکرو گرم بر میلی لیتر از عصاره کاکوتی تیمار گردید.

محیط کشت رویی سلول تخلیه شده و مقادیر محیط کشت

کامل و عصاره کاکوتی به هر چاهک مخصوص به خود

اضافه شد. مجموع مقادیر ۲ ml می باشد.

### استخراج RNA Total

RNA کل سلول های یوکاریوتی حاوی

RNA (rRNA) ناقل (tRNA) و ریبوزومی

RNA (mRNA) پیامبر می باشد. در این مطالعه استخراج

در دوز های ۴۸ و ۷۲ ساعته به ۲ صورت انجام گرفت.

### استخراج Total RNA از کیت استخراج

#### از کشت سلول RNA

کیت استخراج RNA از کشت سلول با

Cat.NO:PRA۹۱۶۲۰ از شرکت سیناکلون خریداری شد.

#### استخراج RNA Total توسط RNX

جدول ۱. توالی پرایمرها

Primer Name	Oligo sequences 5' → 3'	Length
CLDN-1 F	5'-GCGCGATATTCTTCTTCAGG-3'	۲۲
CLDN-1 R	5'-TTCGTACCTGGCATTGACTGG-3'	۲۱
GAPDH F	5'-ACCCAGAAGACTGTGGATGG-3'	۲۰
GAPDH R	5'-TCTAGACGGCAGGTCAGGTC-3'	۲۰

در این روش مقدار  $Ct$  هر یک از نمونه ها از مقدار  $Ct$  ژن استاندارد مورد نظر کسر و تفاوت آن در مقابل  $Ct$  به دست آمده و روند کاهش یا نمونه کنترل ( $\Delta\Delta Ct$ ) محاسبه شد. میزان بیان ژن با فرمول ۲ به توان  $\Delta\Delta Ct$  – به دست آمده و روند کاهش یا افزایشی ژن مورد بررسی قرار گرفت.

### روش مقایسه‌ای $2^{-\Delta\Delta Ct}$

در ارزیابی نسبی از چندین روش متفاوت می‌توان استفاده کرد که شامل ارزیابی نسبی با استفاده از دو منحنی استاندارد، روش  $\Delta\Delta Ct$  و روش پافل می‌باشد که از این بین در این مطالعه از روش مقایسه‌ای  $\Delta\Delta Ct$  استفاده شد.

- $\Delta Ct(\text{Control}) = Ct(\text{Target gene}) - Ct(\text{Reference gene})$
- $\Delta Ct(\text{Treatment}) = Ct(\text{Target gene}) - Ct(\text{Reference gene})$
- $\Delta\Delta Ct = \Delta Ct(\text{Treatment}) - \Delta Ct(\text{Control})$
- $\text{Relative fold change} = 2^{-\Delta\Delta Ct}$

$P\text{-value} < 0.05$  نشان‌دهنده معنی دار بودن کاهش یا افزایش بیان ژن claudin-1 می‌باشد.

### نتایج

#### تغییرات بیان ژن claudin1 در سلول های AGS در دوره ۴ ساعت

سلول‌های AGS با غلظت ۸۰۰، ۱۲۰۰ و ۲۰۰۰ مایکروگرم بر میلی لیتر از کاکوتی و نمونه کنترل در بازه زمانی ۴۸ ساعت تحت تیمار قرار گرفت. استخراج RNA و سنتز cDNA و در نهایت Real Time PCR انجام شد. نتایج به دست آمده از طریق فرمول روش مقایسه‌ای  $\Delta\Delta Ct$  مورد آنالیز قرار گرفت. معنی دار بودن داده‌ها نیز توسط t-test بررسی شد.

جهت اطمینان یافتن از تحت تاثیر قرار گرفتن یا نگرفتن house keeping gene با استفاده از فرمول زیر محاسبه شد.

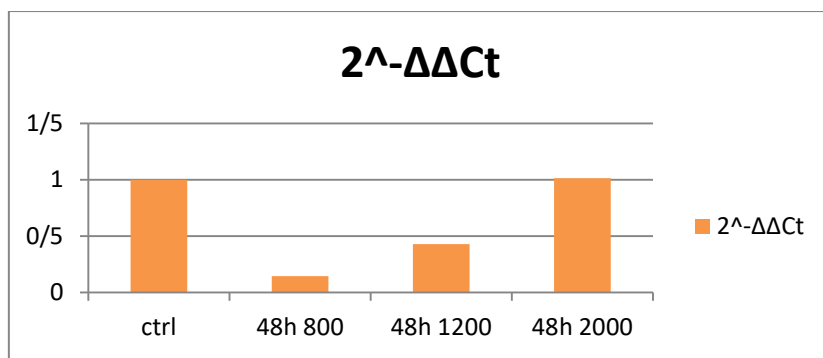
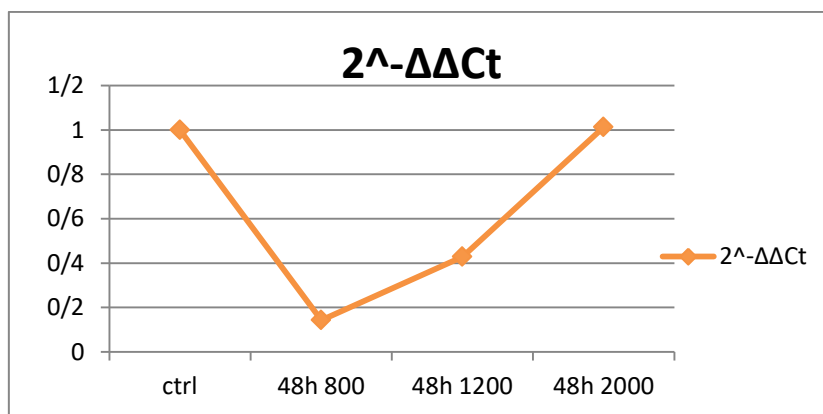
Ratio =  $2^{-\Delta Ct}$  Sample /  $2^{-\Delta Ct}$  Reference gene  
برای بررسی میزان بیان ژن از Real Time PCR استفاده و آنالیز اماری برای معنی دار بودن صورت گرفت

### t-test

در این روش هر گروه به طور جداگانه با گروه کنترل مقایسه شد تا معنی دار بودن یا نبودن نتایج مشخص گردد. این کار توسط سایت openepi به صورت آنلاین انجام گرفت. در خانه‌های این جدول میانگین  $\Delta\Delta Ct$  و انحراف معیار وارد شد و P-value برای گروه‌های تحت تیمار محاسبه گردید.

جدول ۲. نتایج تغییر میزان بیان ژن *Claudin-1* تحت تیمار با غلظت‌های مختلف عصاره کاکوتی در بازه زمانی ۴ ساعت

ژن claudin-1 (۴۸ ساعت)	Average $2^{-\Delta\Delta Ct}$	SD	P_Value	توضیحات
کنترل	۱	۰	Reference	-
دوز $800 \mu\text{g/ml}$	۰.۱۴	۰.۱۹	۰.۰۰۱۴	کاهش معنی دار
دوز $1200 \mu\text{g/ml}$	۰.۴۲	۰.۶۶	۰.۲۰۲۶	----
دوز $2000 \mu\text{g/ml}$	۱.۰۱	۱.۰۵	۰.۹۸۷۶	----

نمودار ۱. نمودار ستونی تغییرات میزان بیان ژن *claudin-1* در گروه ۴۸ ساعتنمودار ۲. نمودار خطی تغییرات میزان بیان ژن *claudin-1* در گروه ۴۸ ساعت

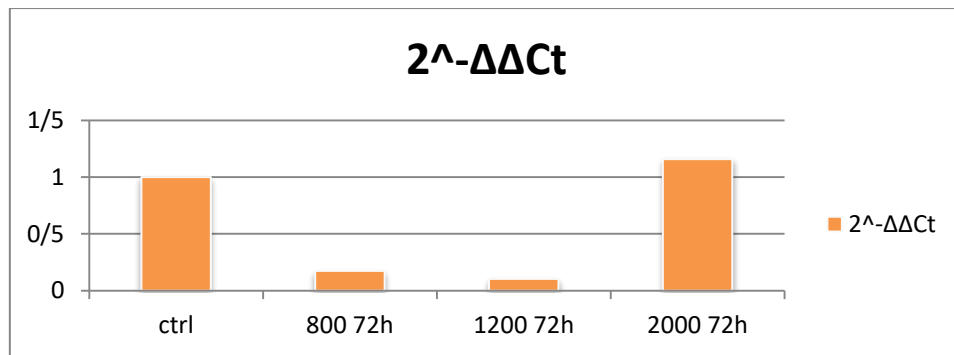
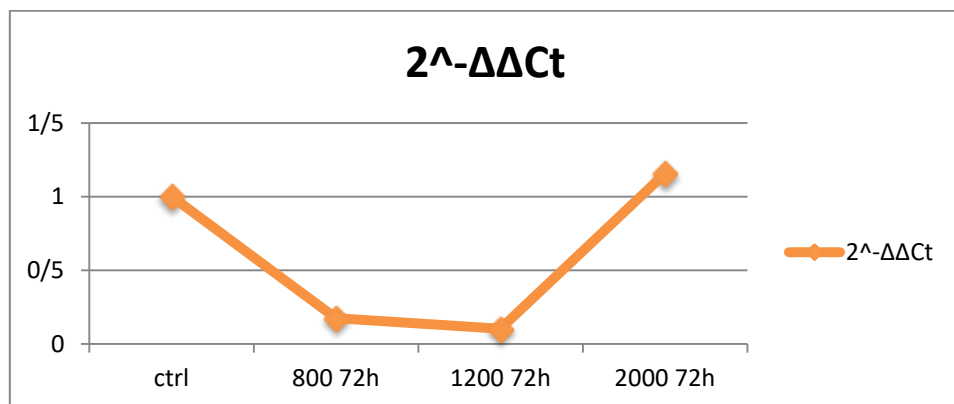
### بررسی تغییرات میزان بیان ژن *Claudin-1* در بازه زمانی ۷۲ ساعت

روش کار مشابه آزمایش در گروه ۴۸ ساعت می‌باشد با این تفاوت که در این گروه، زمان طی شده پس از تیمار با عصاره کاکوتی، ۷۲ ساعت می‌باشد.

در تیمار ۴۸ ساعت سلول‌های AGS با عصاره کاکوتی در غلظت  $800 \mu\text{g}/\text{ml}$  بیشترین کاهش بیان این ژن را داریم قابل ذکر است در غلظت  $1200 \mu\text{g}/\text{ml}$  نیز کاهش بیان داریم اما با  $p\text{-value} > 0.05$  معنی‌دار نیست و لی در غلظت  $1200 \mu\text{g}/\text{ml}$  تغییری مشاهده نشد.

جدول ۳. نتایج تغییر میزان بیان ژن *Claudin-1* تحت تیمار با غلظت‌های مختلف عصاره کاکوتی در بازه زمانی ۷۲ ساعت

بیان ژن <i>Claudin-1</i> در ۷۲ ساعت	Average $2^{-\Delta\Delta Ct}$	SD	P_Value	توضیحات
کنترل	۱	۰	Reference	-
$\mu\text{g}/\text{ml} 800$ دوز	۰.۱۷	۰.۰۴	۰.۰۰۰۰۰۳۵۷۸	کاهش معنی‌دار
$\mu\text{g}/\text{ml} 1200$ دوز	۰.۱	۰.۰۶	۰.۰۰۰۰۱۳۰۴	کاهش معنی‌دار
$\mu\text{g}/\text{ml} 1200$ دوز	۱.۱۵	۱.۰۳	۰.۸۱۳۳	----

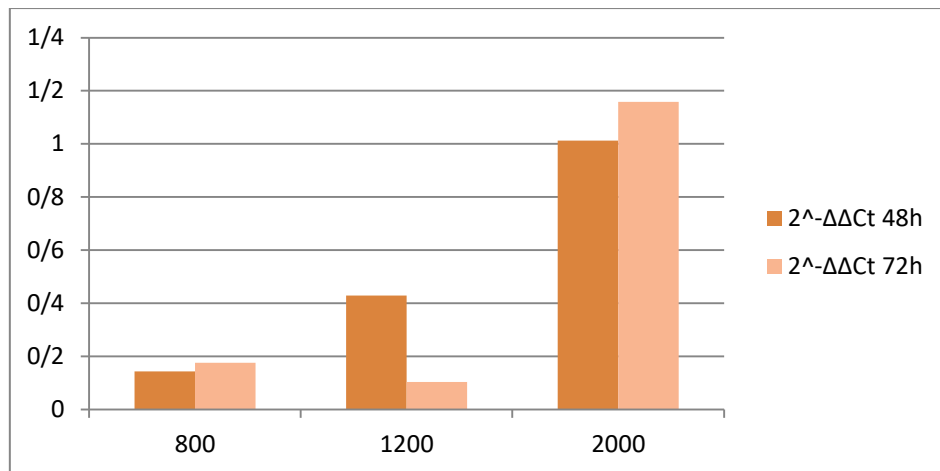
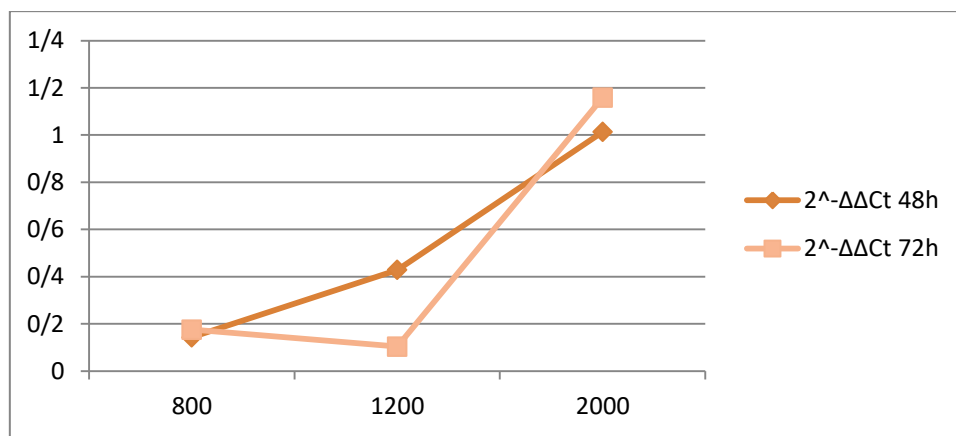
نمودار ۳. نمودار ستونی تغییرات میزان بیان ژن *claudin-1* در گروه ۷۲ ساعتنمودار ۴. نمودار خطی تغییرات میزان بیان ژن *claudin-1* در گروه ۷۲ ساعت

ژن را داریم قابل ذکر است در غلظت  $2000 \mu\text{g}/\text{ml}$  افزایش بیان داریم که با  $p\text{-value} > 0.05$  معنی دار نیست.

در تیمار ۷۲ ساعت سلول های AGS با عصاره کاکوتی در غلظت های  $800$  و  $1200 \mu\text{g}/\text{ml}$  کاهش معنی دار بیان این

جدول ۴. مقایسه میزان تغییرات بیان ژن *claudin-1* در بازه زمانی ۷۲ و ۴۸ ساعت

گروهها	Average $2^{-\Delta\Delta Ct}$	SD	P_Value	توضیحات
کنترل	۱	.	Reference	-
کاکوتی ( $48\text{h}$ ) ( $800$ )	۰.۱۴	۰.۱۹	۰.۰۰۱۴	کاهش معنی دار
کاکوتی ( $48\text{h}$ ) ( $1200$ )	۰.۴۲	۰.۶۶	۰.۲۰۲۶	---
کاکوتی ( $48\text{h}$ ) ( $2000$ )	۱.۰۱	۱.۰۵	۰.۹۸۷۶	---
کاکوتی ( $72\text{h}$ ) ( $800$ )	۰.۱۷	۰.۰۴	۰.۰۰۰۰۰۳۵۷۸	کاهش معنی دار
کاکوتی ( $72\text{h}$ ) ( $1200$ )	۰.۱	۰.۰۶	۰.۰۰۰۰۱۳۰۴	کاهش معنی دار
کاکوتی ( $72\text{h}$ ) ( $2000$ )	۱.۱۵	۱.۰۳	۰.۸۱۳۳	---

نمودار ۵: نمودار ستونی مقایسه میزان تغییرات بیان ژن *claudin-1* در بازه های زمانی ۷۲ و ۴۸ ساعتنمودار ۶: نمودار خطی مقایسه میزان تغییرات بیان ژن *claudin-1* در بازه های زمانی ۷۲ و ۴۸ ساعت

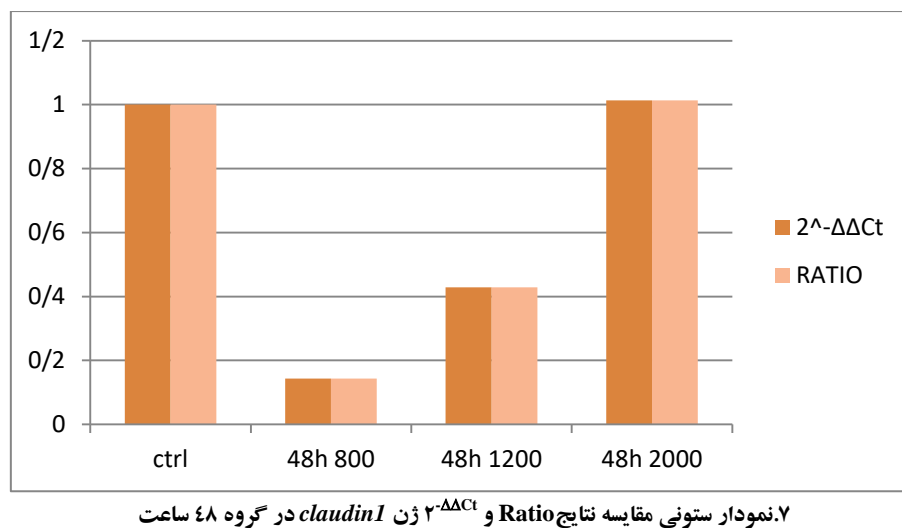
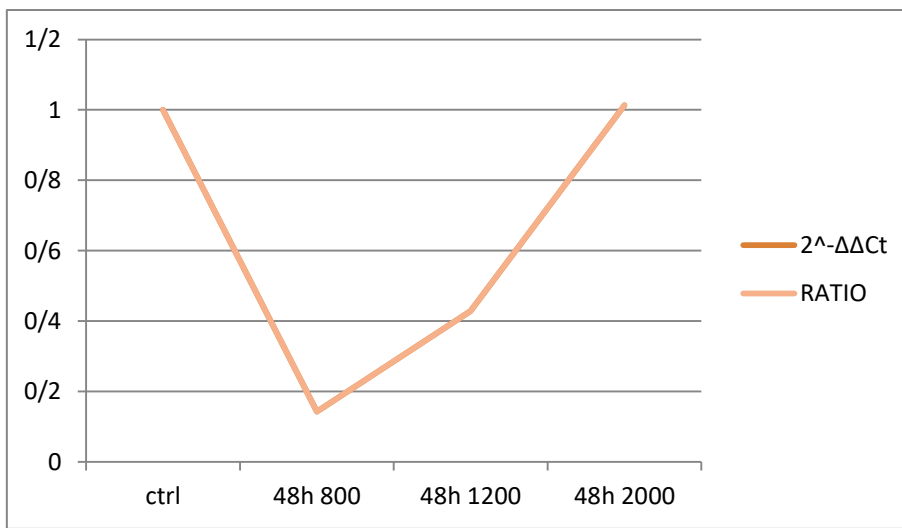
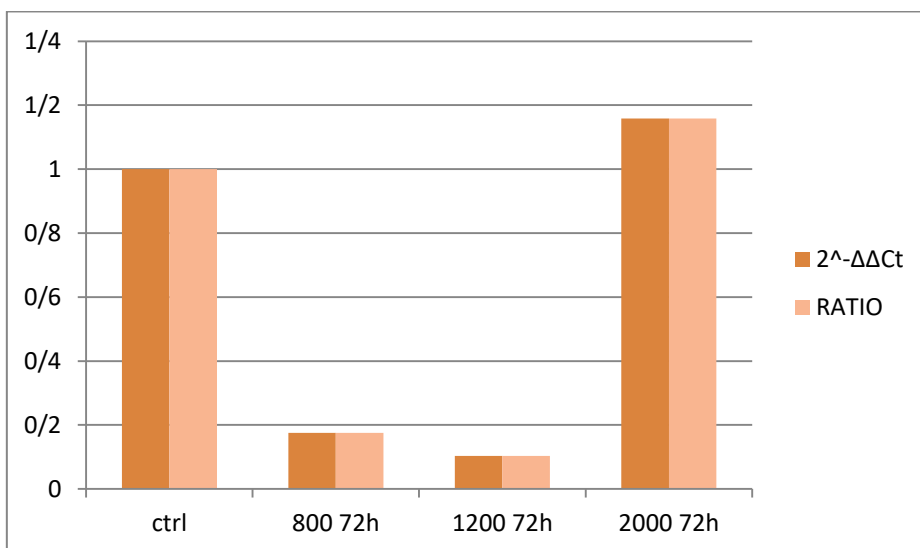
غلظت های ۸۰۰ و ۱۲۰۰ و ۲۰۰۰  $\mu\text{g}/\text{ml}$  از عصاره کاکوتی وجود ندارد و می توان اینطور عنوان کرد که ژن *claudin-1* رفنس در بازه ۴۸ و ۷۲ ساعت تیمار با عصاره کاکوتی به طور مستقیم تحت تاثیر قرار نگرفته است و به عنوان ژن رفنس، استاندارد می باشد.

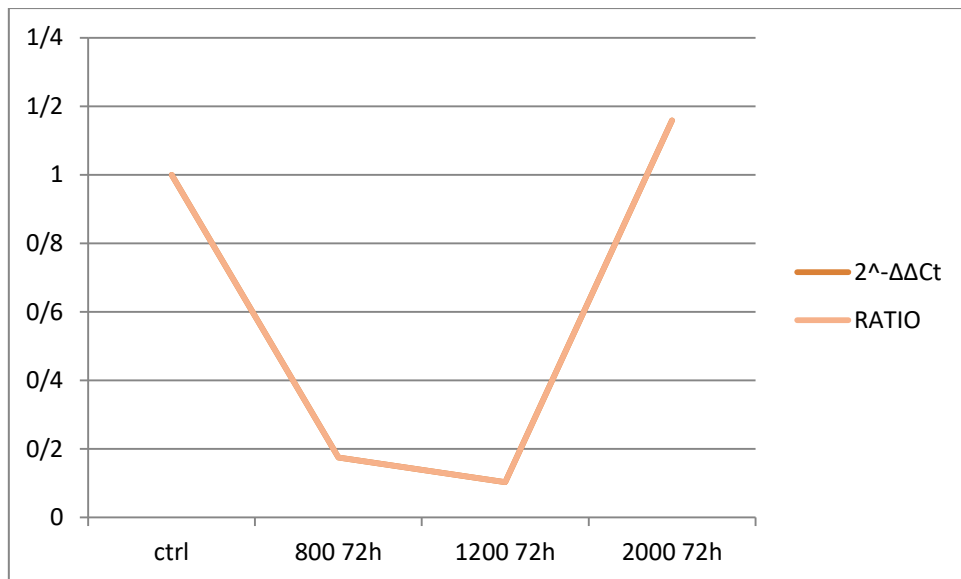
### بحث

نام کلودین برگرفته از کلمه لاتین *claudere* (به معنی برای بستن) می باشد که این اسم نشان دهنده نقش سدی این پروتئین هاست. کلودین ها به عنوان یکی از مهم ترین اجزای اتصالات محکم در سلول های اپیتلیال است این پروتئین ها هموستاز بافت را از طریق تنظیم نفوذ پذیری و انتقال سیگنال حفظ می کنند.

آنالیز نتایج نشان داد که در تیمار ۴۸ ساعت سلول های AGS با عصاره کاکوتی در غلظت ۸۰۰  $\mu\text{g}/\text{ml}$  و ۱۲۰۰  $\mu\text{g}/\text{ml}$  به ترتیب ۷ برابر و  $2/3$  برابر کاهش در بیان ژن *claudin-1* مشاهده گردید ولی تغییری در غلظت ۲۰۰۰  $\mu\text{g}/\text{ml}$  مشاهده نشد. همچنین در تیمار ۷۲ ساعت، در غلظت ۸۰۰  $\mu\text{g}/\text{ml}$  و ۱۲۰۰  $\mu\text{g}/\text{ml}$  به ترتیب کاهش ۵۸ برابر و ۱۰ برابر در بیان ژن *claudin-1* مشاهده گردید و در غلظت ۲۰۰۰  $\mu\text{g}/\text{ml}$  افزایش بیان ژن *claudin-1* حاصل شد ولی این افزایش معنی دار نبود.

**نتایج مقایسه  $2^{-\Delta\Delta Ct}$  و Ratio**  
در گروه ۴۸ و ۷۲ ساعت، تفاوت محسوسی میان نتایج  $2^{-\Delta\Delta Ct}$  در میزان بیان ژن *claudin-1* در

نمودار سطونی مقایسه نتایج  $2^{-\Delta\Delta Ct}$  و Ratio ژن *claudin1* در گروه ۴۸ ساعتنمودار ۸. نمودار خطی مقایسه نتایج  $2^{-\Delta\Delta Ct}$  و Ratio ژن *claudin1* در گروه ۴۸ ساعتنمودار سطونی مقایسه نتایج  $2^{-\Delta\Delta Ct}$  و Ratio ژن *claudin1* در گروه ۷۲ ساعت

نمودار ۱۰. نمودار خطی مقایسه نتایج  $2^{-\Delta\Delta Ct}$  و Ratio در گروه ۲۲ ساعت

کلودین ها پروتئین هایی هستند که در اتصالات محکم سلولی دخیل هستند و برای نگهداری از اپتیلیوم طبیعی (نرمال)، به ویژه در ساختار سدمانند، قطبیت سلولی و انتقال سیگنال مهم هستند. اختلال در تنظیم بیان این ژن ها در بسیاری از سرطان های مختلف شناسایی شده است (۳۵).  
بر اساس بیولوژی تومور، کاهش بیان *CLDN1* منجر به تخریب اتصالات محکم و از دست دادن چسبندگی سلول به سلول می شود که باعث پیشرفت تومور می شود (۳۶)، اما اهمیت بالینی آن در سرطان معده پیچیده تر است. شواهدی وجود دارد که تعدادی از کلودین ها، از جمله *CLDN1*،  
یافشان افزایش می یابد، زیرا بافت معده به متاپلازی روده و سرطانی شدن زودرس معده منجر می شود.

طبق مطالعات Lars L Eftang و همکارانش مشخص شد که بیان بیش از حد *claudin-1* و *IL-8* با عفونت حاد هلیکوباترپیلوری و تومورزایی در سلول های اپتیلیال معده در ارتباط است. (۳۵)

طبق مطالعات Jie Huang و همکارانش با انجام آزمایشی میزان *claudin-1* را یک بار افزایش و بار دیگر کاهش دادند تا نقش *claudin* را در سرطان معده و پیشرفت تومور بررسی کنند آن ها مشاهده کردند که کاهش بیان این ژن در شرایط آزمایشگاهی (*In vitro*، مهار و کاهش *in vivo* مهاجرت و تهاجم و تشکیل کلی در شرایط داخل بدن) نیز مهار تومورزایی و متاستاز را در پی دارد همچنین آن ها گزارش کردند که کاهش یا افزایش بیش از حد *CLDN1* باعث تغییراتی در بتاکاتنین غشائی در سلول های سرطانی معده می شود (بتا کاتنین تنظیم کننده

کلودین ها پروتئین هایی هستند که در اتصالات محکم سلولی دخیل هستند و برای نگهداری از اپتیلیوم طبیعی (نرمال)، به ویژه در ساختار سدمانند، قطبیت سلولی و انتقال سیگنال مهم هستند. اختلال در تنظیم بیان این ژن ها در بسیاری از سرطان های مختلف شناسایی شده است (۳۵).  
بر اساس بیولوژی تومور، کاهش بیان *CLDN1* منجر به تخریب اتصالات محکم و از دست دادن چسبندگی سلول به سلول می شود که باعث پیشرفت تومور می شود (۳۶)، اما اهمیت بالینی آن در سرطان معده پیچیده تر است. شواهدی وجود دارد که تعدادی از کلودین ها، از جمله *CLDN1*،  
یافشان افزایش می یابد، زیرا بافت معده به متاپلازی روده و سرطانی شدن زودرس معده منجر می شود.  
طبق مطالعات VE Zavala-Zendejas و همکارانش، نقش *CLDN1* را در فرایندهای متاستاتیک از طریق فعل شدن متالوپروتئینازها، کاهش آپوپتوز و افزایش مهاجرت را در سرطان تخدمان و کولون گزارش کردند. (۳۷)  
در مطالعه ای که در سال ۲۰۱۱ توسط Marimuthu و همکارانش انجام گرفت مشخص شد که از ۲۴ عضو از

$1200 \mu\text{g}/\text{ml}$  به میزان ۲.۳ برابر کاهش بیان رخ داد ولی در دوز  $2000 \mu\text{g}/\text{ml}$  تاثیری مشاهده نشد. با بررسی تغییرات بیان ژن در بازه‌ی زمانی ۷۲ ساعت سلول‌های AGS با عصاره کاکوتی در غلظت  $1 \mu\text{g}/\text{ml}$  کاهش بیان با محاسبه  $p\text{-value} > 0.05$  معنی‌دار و به میزان ۵.۸ برابر بود و در دوز  $1200 \mu\text{g}/\text{ml}$  در این بازه‌ی زمانی به مقدار ۱۰ برابر کاهش معنی‌دار رخ داد ولی در دوز  $2000 \mu\text{g}/\text{ml}$  افزایش بیان ژن *claudin-1* حاصل شد ولی این افزایش معنی‌دار نبود.

با انجام آزمایشات بر طبق t-test کاهش بیان ژن *claudin-1* در دوز  $800 \mu\text{g}/\text{ml}$  از تیمار ۴۸ ساعته و در دوزهای ۸۰۰ و  $1200 \mu\text{g}/\text{ml}$  از تیمار ۷۲ ساعته با محاسبه  $1200 \mu\text{g}/\text{ml}$  معنی‌دار بوده اما در دوز  $1200 \mu\text{g}/\text{ml}$  از تیمار ۴۸ ساعته بی‌معنی بوده است. همچنین در دوز  $2000 \mu\text{g}/\text{ml}$  از هر دو بازه زمانی ۴۸ و ۷۲ ساعت افزایش بیان رخ داد که بی‌معنی گزارش شد.

### نتیجه‌گیری

با توجه به افزایش مصرف گیاهان دارویی و خطرات مصرف با دور غیر موثر و گاهها سمی این ترکیبات نتایج بدست آمده طبق تحقیق حاضر می‌تواند مورد استفاده شرکت‌های دانش بنیان برای تولید داروهای گیاهی با عصاره کاکوتی در دوزهای مناسب برای بهبود و کنترل پیشرفت بیماری در بیماران مبتلا به سرطان معده قرار گیرد.

### تعارض منافع

نویسنده‌گان مقاله تعارضی در منافع ندارند

مهم چسبندگی سلول‌سلول است) آن‌ها مشاهده کردند که بیان کلودین-۱ با بیان بتاکاتنین در بافت سرطان معده در ارتباط است و گزارش کردند که تنظیم بیان بتاکاتنین توسط کلودین-۱ ممکن است یک مسیر کلیدی در روند anoikis سلول سرطانی معده باشد (۲۵). همچنین هاف من و همکاران نیز گزارش کردند که یکپارچگی تماس سلول‌سلول می‌تواند به حفظ بقای سیگنال بتاکاتنین و anoikis ، PI3K/AKT و جلوگیری از SRC کمک کند.

مطالعه حاضر با هدف تأیید خاصیت ضد سرطانی عصاره گیاه کاکوتی بر سلول‌های سرطانی بوده است و ما در تحقیقات خود اثر عصاره کاکوتی را بر ژن *claudin-1* بررسی کردیم و شاهد کاهش این ژن در دوزهای  $800 \mu\text{g}/\text{ml}$  و  $1200 \mu\text{g}/\text{ml}$  بودیم. پیشبرد واکنش‌های پیوسته به سمت مرگ سلولی در سلول‌های غیر طبیعی و سرطانی قطعاً همراه با کاهش یا افزایش برخی از ژن‌های درگیر در این روند بوده است، اما این پروسه نیازمند مطالعات دیگری برای شناخت ژن‌های تاثیر پذیر بر عصاره ضد سرطانی کاکوتی بوده است.

بر طبق آزمایشات انجام شده آنالیز نتایج نشان داد که در بازه زمانی ۴۸ ساعت سلول‌های AGS با عصاره کاکوتی در غلظت‌های  $800 \mu\text{g}/\text{ml}$  و  $1200 \mu\text{g}/\text{ml}$  کاهش در بیان ژن *claudin-1* مشاهده گردید که در دوز  $800 \mu\text{g}/\text{ml}$  این کاهش بیان محسوس‌تر از دوز  $1200 \mu\text{g}/\text{ml}$  بود به نحوی که در دوز  $800 \mu\text{g}/\text{ml}$  از تیمار ۴۸ ساعته ۷ برابر در دوز

### فهرست منابع

- Jemal A, Bray F, Center MM, Ferlay J, Ward E, Forman D. Global cancer statistics. CA Cancer J Clin 2011; 61 (2): 69- 90.

- Lichtenstein P, Holm NV, Verkasalo PK, Iliadou A, Kaprio J, Koskenvuo M, et al. Environmental and heritable factors in the causation of cancer-analyses of cohorts of twins from

- Sweden, Denmark, and Finland. *N Engl J Med* 2000; 343(2): 78-85
- 3.** Gupta GP and Massague' J. Cancer metastasis: building a framework. *Cell* 2006;127(4):679-9.
  - 4.** Valastyan S, Weinberg RA. Tumor metastasis: molecular insights and evolving paradigms. *Cell* 2011;147(2):275-92.
  - 5.** Noori-Daloii MR. Medical Molecular Genetics in The Third Millennium. Tehran: Samer publishing; 2009, 2012. [Persian]
  - 6.** Noori-Daloii MR. Emery's Elements of Medical genetics. 6th ed. Tehran: Jame-e-Negar and Salemi Publishing; 2012. [Persian]
  - 7.** Rendon-Huerta E, Teresa F, Teresa GM, Xochitl GS, Georgina AF, et al. (2010) Distribution and expression pattern of claudins 6, 7, and 9 in diffuse- and intestinal-type gastric adenocarcinomas. *J Gastrointest Cancer* 41: 52-59.
  - 8.** Jung H, Jun KH, Jung JH, Chin HM, Park WB (2010) The Expression of Claudin-1, Claudin-2, Claudin-3, and Claudin-4 in Gastric Cancer Tissue. *J Surg Res*.
  - 9.** Arivusudar Marimuthu and et al. Gene Expression Profiling of Gastric Cancer. *J Proteomics Bioinform* 2011, 4:4
  - 10.** Schneeberger EE and Lynch RD. The tight junction: a multifunctional complex. *Am J Physiol Cell Physiol*. 2004; 286(6):C1213-1228.
  - 11.** Findley MK and Koval M. Regulation and roles for claudin-family tight junction proteins. *IUBMB Life*. 2009; 61(4):431-437.
  - 12.** Lal-Nag M, Morin PJ (2009) The claudins. *Genome Biol* 10: 235.
  - 13.** Wu YL, Zhang S, Wang GR and Chen YP. Expression transformation of claudin-1 in the process of gastric adenocarcinoma invasion. *World J Gastroenterol*. 2008; 14(31):4943-4948.
  - 14.** Jung H, Jun KH, Jung JH, Chin HM and Park WB. The expression of claudin-1, claudin-2, claudin-3, and claudin-4 in gastric cancer tissue. *J Surg Res*. 2011; 167(2):e185-191.
  - 15.** Ichiyasu H, McCormack JM, McCarthy KM, Dombkowski D, Preffer FI and Schneeberger EE. Matrix metalloproteinase-9-deficient dendritic cells have impaired migration through tracheal epithelial tight junctions. *American journal of respiratory cell and molecular biology*. 2004; 30(6):761-770.
  - 16.** Yoon CH, Kim MJ, Park MJ, Park IC, Hwang SG, An S, Choi YH, Yoon G and Lee SJ. Claudin-1 acts through c-Abl-protein kinase Cdelta (PKCdelta) signaling and has a causal role in the acquisition of invasive capacity in human liver cells. *J Biol Chem*. 2010; 285(1):226-233.
  - 17.** Leotlela PD, Wade MS, Duray PH, Rhode MJ, Brown HF, Rosenthal DT, Dissanayake SK, Earley R, Indig FE, Nickoloff BJ, Taub DD, Kallioniemi OP, Meltzer P, Morin PJ and Weeraratna AT. Claudin-1 overexpression in melanoma is regulated by PKC and contributes to melanoma cell motility. *Oncogene*. 2007; 26(26):3846- 3856.
  - 18.** Frisch SM and Francis H. Disruption of epithelial cellmatrix interactions induces apoptosis. *J Cell Biol*. 1994; 124(4):619-626.
  - 19.** Frisch SM and Screamton RA. Anoikis mechanisms. *Curr Opin Cell Biol*. 2001; 13(5):555-562.
  - 20.** Taddei ML, Giannoni E, Fiaschi T and Chiarugi P. Anoikis: an emerging hallmark in health and diseases. *J Pathol*. 2012; 226(2):380-393
  - 21.** Dhawan P, Singh AB, Deane NG, No Y, Shiou SR, Schmidt C, Neff J,

- Washington MK and Beauchamp RD. Claudin-1 regulates cellular transformation and metastatic behavior in colon cancer. *J Clin Invest.* 2005; 115(7):1765-1776.
- 22.** Singh AB, Sharma A and Dhawan P. Claudin-1 expression confers resistance to anoikis in colon cancer cells in a Srcdependent manner. *Carcinogenesis.* 2012; 33(12):2538- 2547.
- 23.** Huang J, Li J, Qu Y, Zhang J, Zhang L, Chen X, Liu B and Zhu Z. The expression of claudin 1 correlates with betacatenin and is a prognostic factor of poor outcome in gastric cancer. *Int J Oncol.* 2014; 44(4):1293-1301.
- 24.** Miwa N, Furuse M, Tsukita S, Niikawa N, Nakamura Y and Furukawa Y. Involvement of claudin-1 in the beta-catenin/ Tcf signaling pathway and its frequent upregulation in human colorectal cancers. *Oncol Res.* 2001; 12(11-12):469-476.
- 25.** Jie Huang, et al, Claudin-1 enhances tumor proliferation and metastasis by regulating cell anoikis in gastric cancer. 2014
- 26.** Eftang LL, Esbensen Y, Tannæs TM, Blom GP, Bukholm IR and Bukholm G. Up-regulation of CLDN1 in gastric cancer is correlated with reduced survival. *BMC Cancer.* 2013; 13:586.
- 27.** Soini Y, Tommola S, Helin H and Martikainen P. Claudins 1, 3, 4 and 5 in gastric carcinoma, loss of claudin expression associates with the diffuse subtype. *Virchows Arch.* 2006; 448(1):52-58
- 28.** Resnick MB, Gavilanez M, Newton E, Konkin T, Bhattacharya B, Britt DE, Sabo E and Moss SF. Claudin expression in gastric adenocarcinomas: a tissue microarray study with prognostic correlation. *Hum Pathol.* 2005; 36(8):886-892.
- 29.** Resnick MB, Gavilanez M, Newton E, et al. Claudin expression in gastric adenocarcinomas: a tissue microarray study with prognostic correlation. *Hum Pathol.* 2005;36(8):886–892.
- 30.** Győrffy H, Holczbauer A, Nagy P, et al. Claudin expression in Barrett's esophagus and adenocarcinoma. *Virchows Arch.* 2005;447(6): 961–968.
- 31.** Hough CD, Sherman-Baust CA, Pizer ES, et al. Large-scale serial analysis of gene expression reveals genes differentially expressed in ovarian cancer. *Cancer Res.* 2000;60(22):6281–6287.
- 32.** Kwon MJ, Kim SH, Jeong HM, et al. Claudin-4 overexpression is associated with epigenetic derepression in gastric carcinoma. *Lab Invest.* 2011;91(11):1652–1667.
- 33.** Hoevel T, Macek R, Swisshelm K, Kubbies M. Reexpression of the TJ protein CLDN1 induces apoptosis in breast tumor spheroids. *Int J Cancer.* 2004;108(3):374–383.
- 34.** Hossein Zadegan, Hassan, Ezzatpour, Abdullahepour, Fawad, Motamedi, Rashidipour. Investigating the cytotoxicity effects of olive and green tea extracts on breast cancer cell line. *Journal of Ardabil University of Medical Sciences.* 2010 Dec 10;10(4):287-94
- 35.** Lars L Eftang, Ying Esbensen , Tone M Tannæs , Gustav P Blom , Ida RK Bukholm and Geir Bukholm : Up-regulation of CLDN1 in gastric cancer is correlated with reduced survival. *BMC Cancer* 2013, 13:586
- 36.** Jung H, Jun KH, Jung JH, Chin HM, Park WB: The expression of claudin-1, claudin-2, claudin-3, and claudin-4 in gastric cancer tissue. *J Surg Res* 2011, 167:e185–e191.

37. Zavala-Zendejas VE, Torres-Martinez AC, Salas-Morales B, Fortoul TI, Montano LF, Rendon-Huerta EP: Claudin-6, 7, or 9 overexpression in the human

gastric adenocarcinoma cell line AGS increases its invasiveness, migration, and proliferation rate. Cancer Invest 2011, 29:1–11.

## The study of *Ziziphora* Extract on *Claudin1* Gene Expression in Cancerous Cell line AGS.

Sara Nayyeri<sup>1</sup>, Zahra Deilami Khiabani<sup>2</sup>

1- Master of Science, Faculty of Basic Sciences, Zanjan Branch, Islamic Azad University, Zanjan, Iran

2- Assistant Professor, Faculty of Basic Sciences, Zanjan Branch, Islamic Azad University, Zanjan, Iran.

Corresponding author: [zahra.deilami@gmail.com](mailto:zahra.deilami@gmail.com)

Received:2023.08. 12

Accepted: 2023.10.05

### Abstract

**Background & Aims:** Claudins are the main structural and functional proteins of tight junctions in epithelial cells. The altered expression patterns of different claudin members have been demonstrated in a variety of diseases, particularly in cancers. It has been reported that *claudin 1* is overexpressed 22-fold in gastric adenocarcinoma. Considering the least side effect of herbal extracts, in this study we have evaluated *claudin-1* gene expression in AGS cells treated with *ziziphora* extract.

**Materials and Methods:** The AGS cells were incubated 37°C containing 5% CO<sub>2</sub> with 85% humidity DMEM with 10% FBS . The cells were treated with concentrations of 800, 1200, 2000 µg /ml of *ziziphora* for 48 and 72 hours. Extraction of RNA, synthesis of cDNA has been done using kit. The study of *claudin-1* gene expression was performed by Real time PCR and also GAPDH gene was used as the internal control. Data analysis was performed with  $2^{-\Delta\Delta CT}$  and statistically analyzed by T-Test .

**Results:** The results of Real time PCR data have shown in 48 hours treatment, reduction of 7 and 2.3 fold with concentrations of 800 and 1200 µg /ml of *ziziphora* respectively and in 72 hours treatment, reduction of 5.8 and 10 fold have seen in concentrations of 800 and 1200µg /ml of *ziziphora*, respectively and there was no significant change in concentration of 2000µg / ml in both treatments.

**Conclusion:** *Ziziphora* extract in 1200 µg /ml concentration, reduced the expression of *claudin-1* remarkably. *Claudin-1* may become therapeutic targets for cancer treatment and *ziziphora* as a herbal extract decreased the expression rate of *claudin1* significantly, in lower concentrations treatment.

**Keywords:** *Claudin-1* ,Gastric cancer, AGS cells, *ziziphora*